

II-119 流出系における流量低減特性の平均化過程について

名古屋大学工学部 正員 ○ 高木 不折
 建設省 正員 太田 静男
 名古屋大学大学院 駆重 吉岡 博明

1. まえがき

筆者らは、地下水流出の流量低減特性について検討してきた。本報文では長期流出において重要な役割を演じる不被压流出成分のみを取り上げ、上流より下流へと順次流下する流出系において、その低減特性がどのように平均化され、変化するかを考察した。未だ数値実験の域を出ていない部分もあるが、これまでに得られた知見について報告する。

2. 不被压成分の低減状態

不被压成分の運動に関する解を基礎とする、流量の低減状態は

$$Q_{ul}(t) = Q_{uo} / \{ K \sqrt{Q_{uo}} t + 1 \}^2 \quad \dots \dots \dots \quad (1)$$

と表わされる。ここで $Q_{ul}(t)$ は時刻 t における流出流量、 Q_{uo} は初期流量である。また、 K は低減特性値である。さて実際の多くの流域での流出解析の結果、つきの事柄が知られている。

i) 流域面積が小さい山岳流域では K は流域固有の値となる。

ii) 流域面積が非常に大きく、下流平地地帯を含むような流域でも、ランプシステムとしての K の値はやはり流域固有の値となる場合が多い。

iii) 両者の中间の流域では、場合々々で K の値が変動し、そのために低減状態は緩慢になったり、急になったりする。

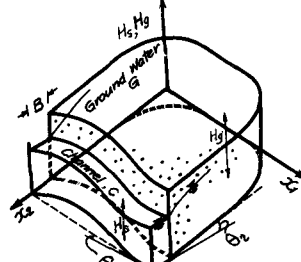
3. 1つの力学系としての場における低減特性の平均化

いろいろな流域での上述のような性質の違いは、主として河川水と地下水、また種々性質を異にする領域からの流出水の干渉・平均化作用によるものと考えられる。このような問題を扱うために、筆者の一人高木は1つの力学系としての流域場に存在する流域水の挙動を混合原理として定式化した。その詳細は割愛するが、右図のようないちじつ地下水と河川水を取り上げると、これらの干渉を含めて、水の挙動は $\delta \left\{ \int_{G(\text{地下帯})} \lambda_g ds dt + \int_{S(\text{河川})} \lambda_s ds dt \right\} = 0 \quad \dots \dots \dots \quad (2)$

と表わされる。ここで λ_g , λ_s は local potential であり。

$$\begin{aligned} \lambda_g &= \gamma \frac{\partial Hg^*}{\partial t} (Hg + \alpha) + \frac{1}{2} \sum k_i Hg^* \left(\frac{\partial Hg}{\partial x_i} + \frac{\partial Hg}{\partial z_i} \right)^2 - r(Hg + \alpha), \\ \lambda_s &= Bs \frac{\partial Hs^*}{\partial t} (Hs + \alpha) + \frac{2}{3} \frac{Bs}{n} Hs^{*5/3} \left(-\frac{\partial Hs}{\partial s} - \frac{\partial Hs}{\partial z} \right)^{3/2}, \end{aligned} \quad \dots \dots \dots \quad (3)$$

である。また、 Bs は Fig. 1 の河川中、 Hs は河水の水深、 Hg は地下水、水の水深であるが、それを巨視的たる値 Hs^* , Hg^* よりの仮想高さ δHs , δHg を含めたものとし、 $Hs = Hs^* + \delta Hs$, $Hg = Hg^* + \delta Hg$ である。 α は不透水層、河床の基準面よりの高さである。



H_s, H_g : 水深, I : 透水係数
 f : 周隙率, $f_i = -f \sin \theta_i = -k \frac{\partial H_s}{\partial z}$
 $I(t)$: 地下水帶単位面積当たり水供給強度
 ρ : 水の密度, g : 重力の加速度

Fig. 1

さて、右図のように1つの力学系として作用する流出の場だが、それを(1)式のKの値の達する領域から成るものとし、第2番目領域のKを K_2 としよう。また、この力学系内に流入する河川水の低減特性を K_s とする。このように考えると、不被压成分の運動の解を試験函数とし、それに含まれるパラメーターの値を(2)式の裏方原理を満すように定めることができる。これを基礎として導かれる低減特性値 K^* はこの複雑な流域をランプシステムとした場合の低減特性値に相当する。計算によると、

$$K^* = \frac{\sum q_j^{3/2} K_j + \frac{1}{3\sqrt{C}} (q_s^{3/2} - 1) - \frac{Bsl}{C} q_s^{3/2} K_s}{\sum p_j q_j} \quad \dots (4)$$

である。ここで、 p_j : 各領域の地形地質条件を定まる係数、C: 河川の流量を $Q = C H_0^2$ としたときの係数、l: 河川長、 q_j 、 q_s : 初期時の第2番目領域よりの流出流量および河川よりの流入量の「末端における初期流量に対する比」である。

この式の意味するところは、「各領域よりの流出水と河川流入水は互に干渉し、その結果それらそれらの低減特性が、この力学系内を加重平均化され、ランプシステムとしての低減特性、すなわち、この系から流出する際の低減特性は K^* となる」である。

この式から考えると、ランプシステムとしてのKの値が一定となるのは、 q_s, q_j がどんな場合も一定であるか、あるいは若干変化をしていても、その変化が K^* の値には結果的にほとんど影響を与えない場合に相当する。前者の場合には流域面積の小さい山岳流域の場合に相当するであろう。すなわち、流域面積が大きいと、降雨の場所的分布はほぼ一定であり、かつ流域内部の状態もほぼ一様であって q の値はあまり変化しない。一方、流域が非常に大きいような場合には、性質を異にする非常に多くの領域からの流出水が干渉し合うわけで、個々の q の値が小さく、 q の値の変化といつて何段階かの平均化が卓越する結果 K^* の値はほぼ流域固有の値を示すと考えられる。前者の場合が実際の流域について述べた2)-i、後者の場合が2)-iiに相当する。また、これらの中間の場合には降雨の場所的な分布状態如何で q の値が変化し、そのため流域全体としてのKの値も変化することになる。以上、ざくざく的な議論ではあるが、1つの力学系内での低減特性の平均化の状態を説明することができる。

4. 実際の流域における解析例

実際の流域において個々の小流域における低減特性の値を求めるることは困難である。流下過程における低減特性の平均化の状態を具体的に検討するためには、1本の河川に沿ったいくつかの観測地異なる低減性を比較検討する以外に今のところ方法はない。ここでは上記(4)式の近似的を検証として、長良川および由富川流域にとって並んだそれを地図上の低減性を基礎として考えよう。すなわち、上流側地図における低減特性を(4)式の K_s 、下流側のものを K_1 と考え、この両者前の残流域(流域-1)のKの値を K_2 と考えたうえで、 q の種々の値をもつ実測値について K_1 の値と流域固有の値となるべき平均化のWeightの比 $\frac{1}{P} \cdot \frac{Bsl}{C}$ を算出した。対象としたのは由富川荒倉(159 km²)、筒(585 km²)、長良川倒(223 km²)、上田(713 km²)の各地図である。また計算に際しては(4)式の第2項は簡単のため無視している。このようにして求めた K_1 の値とWeight $\frac{1}{P} \cdot \frac{Bsl}{C}$ の値をヒストグラムに示したのが、Fig. 3である。

図をみると、長良川の場合には K_1 、 $\frac{1}{P} \cdot \frac{Bsl}{C}$ いずれの値も1つの値に集中的に分布し、固有の値と

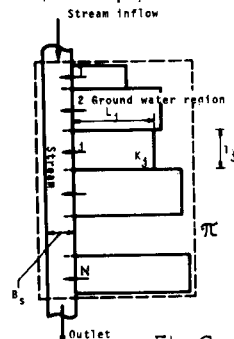


Fig. 2

なっている。このことは流域-1が大略1つの力学系として流出過程を作用していること、また(4)式の妥当性を暗示しているのであろう。一方、由良川の場合には $\frac{1}{P} \frac{B_{sl}}{C}$ の値は0の近辺に集中している。この値が0であることは流域全体としての低減特性に及ぼす流入水の影響が非常に小さいことを示している。

同時に、由良川の場合の K_i の値はかなりばらついており、流域-1を1つの力学系、さらに1つの領域として扱うのが無理であることを示している。

5. 流下過程における低減特性の平均化

流出率におけるランプスケールの問題は極めて難解であるが、実際の流域は3で述べた力学系の連なりとして成り立っているものと考えられる。これらそれを力学系とは、河川水、地下、 k が干渉し低減特性が平均化される。すなわち、実際の流域では(4)式で示した加重平均化が何段階もくり返されているわけである。このような流域の状態を直列型のものについて模式的に示したのが Fig. 4 である。 π_i ($i = 1, 2, \dots$) が1つ1つの力学系であり、それらはそれぞれ N_i ケの性質をもつ流域から成り立っている。 i 番目力学系 π_i のうち、第 j 番目の領域の低減特性値を K_{ij} とするとき、第 j 番目力学系内部の K_{ij} の平均を \bar{K}_{ij}^* 、この力学系の最下流端の K の値、いいかえれば、この力学系より上流流域全体としての低減特性の値を K_i^* とする。さらに i 番目力学系の平均化における j 番目領域の weight を f_{ij} 、上流よりの流入水の重つ weight を f_{i-1} とすると最下流域端の低減係数 K_i^* は

$$K_i^* = \frac{N_i}{N_i + f_{i-1}} \bar{K}_i^* + \frac{f_{i-1} N_{i-1}}{(N_i + f_{i-1})(N_{i-1} + f_{i-2})} \bar{K}_{i-1}^* + \dots + \frac{f_{i-1} f_{i-2} N_{i-2}}{(N_i + f_{i-1})(N_{i-1} + f_{i-2})(N_{i-2} + f_{i-3})} \bar{K}_{i-2}^* + \dots + \frac{f_{i-1} f_{i-2} \dots f_{i-N_i}}{(N_i + f_{i-1})(N_{i-1} + f_{i-2}) \dots N_1} \bar{K}_1^* \quad \dots (5)$$

となる。ここで

$$\bar{K}_i^* = \sum_{j=1}^{N_i} f_{ij} K_{ij}, \quad \sum f_{ij} = 1. \quad (f_{ij}: \pi_i \text{ 内部の } j \text{ の重み})$$

$$1 = \sum_{j=1}^{N_i} f_{ij} + f_{i-1}.$$

である。

上の(5)式を見ると、 K_i^* に及ぼす上流部の力学系の影響はさやのほど

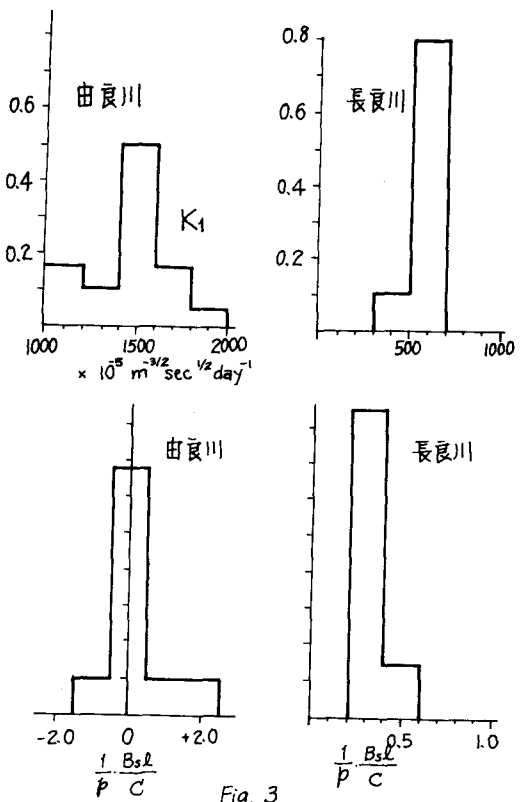


Fig. 3

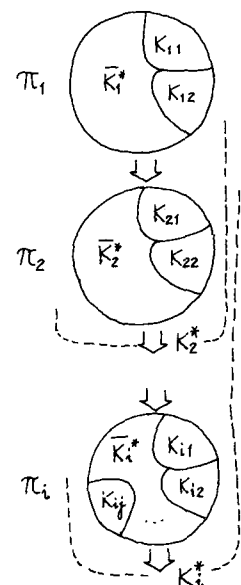


Fig. 4

ほど概してトさくなっていることが想像される。(詳しくは weight などについて検討せねばならない)。いま、流出系における低減特性の平均化の様子を考える1つの系口として、もっとも極端な場合、 $f_{ij} = f_{i-1} = 1/(N_i + 1)$ すなわち、すべての weight が等しい場合を想定した。Fig. 5 は注目している1つの力学系 π_i 最下流端その低減特性に及ぼす上流側力学系 π_i , π_{i-1} , ..., の低減特性 K_i^* , K_{i-1}^* , K_{i-2}^* , ... の影響の積度、言い換えれば (5)式の \bar{K}_i^* , \bar{K}_{i-1}^* の係数の値を示した例である。a) 図は $N_1 = N_2 = \dots = N$ とした場合、b) 図は N_i が i の増加とともに増えた場合、c) 図は N_i が i の増加とともに減少した場合である。

この図では weight を差しにしているので、実際の現象を直接表現するものではないが、このような極端な場合には、1つの要素地帯その低減特性値はその要素地帯の力学系の性質によって大きく支配される様子が伺われる。

実際の流域では weight の如何でいろいろな場合が起りえようが、非常に特殊な場合では、流入水の如何にかからず最下流端の力学系の性質によって流域全体としての低減特性が定まることが考えられる。4で述べた由良川の例ではこれに似たことが起こっていると考えられる。また、実際の流域その低減特性は概して下流部の性質に支配されやすく、ある程度以上の上流部の性質は何段階かの平均化の結果、下流の性質に反映しないようになるであろう。

6. あとがき

以上、流域における低減特性の平均化について考えた。こうした問題については、まだランダスケールの問題があるとともに、平均化の weight など実際の流出問題を明らかにするには今後未知の問題が多い。

低減特性の分散の状態、あるいはより合理的な weight を考慮した場合については検討しているが、集合原理を基礎とした(4)式が低減特性の平均化過程、そして統計的を扱いにも有用となるのではないかと考えている。

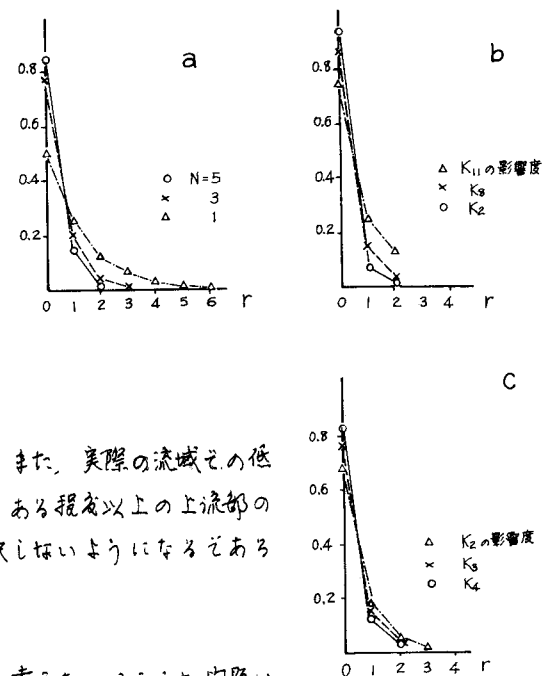


Fig. 5